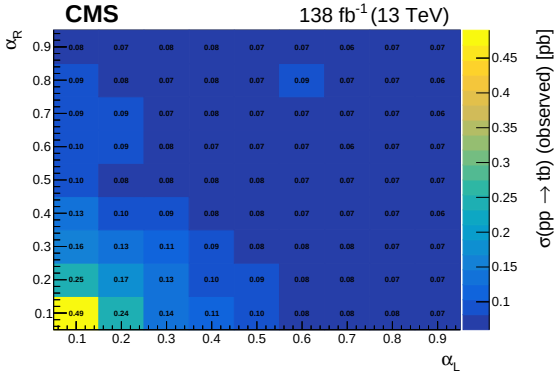
CMS
138 fb^{-1} (13 TeV)
α_R
α_L
$\sigma(pp \to tb)$ (observed) [pb]
0.1 0.2 0.3 0.4 0.5 0.6 0.7 0.8 0.9
0.08 0.07 0.08 0.08 0.07 0.07 0.06 0.07 0.07
0.09 0.08 0.07 0.08 0.07 0.09 0.07 0.07 0.06
0.09 0.09 0.07 0.08 0.07 0.07 0.07 0.07 0.06
0.10 0.09 0.08 0.07 0.07 0.07 0.06 0.07 0.07
0.10 0.08 0.08 0.08 0.08 0.07 0.07 0.07 0.07
0.13 0.10 0.09 0.08 0.08 0.07 0.07 0.07 0.06
0.16 0.13 0.11 0.09 0.08 0.08 0.08 0.07 0.07
0.25 0.17 0.13 0.10 0.09 0.08 0.08 0.07 0.07
0.49 0.24 0.14 0.11 0.10 0.08 0.08 0.08 0.07
0.1 0.15 0.2 0.25 0.3 0.35 0.4 0.45

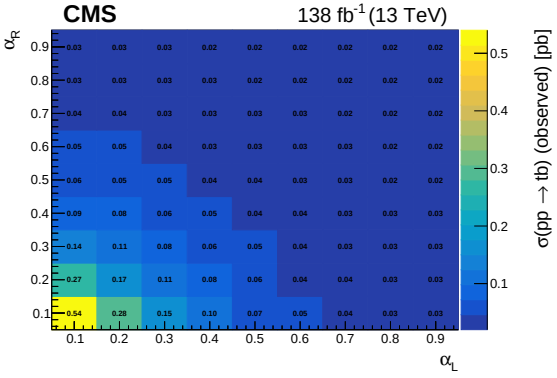
CMS
138 fb^{-1} (13 TeV)
α_R
α_L
$\sigma(pp \to tb)$ (observed) [pb]
0.1 0.2 0.3 0.4 0.5 0.6 0.7 0.8 0.9
0.03 0.03 0.03 0.02 0.02 0.02 0.02 0.02 0.02
0.03 0.03 0.03 0.03 0.02 0.02 0.02 0.02 0.02
0.04 0.04 0.03 0.03 0.03 0.03 0.02 0.02 0.02
0.05 0.05 0.04 0.03 0.03 0.03 0.03 0.02 0.02
0.06 0.05 0.05 0.04 0.04 0.03 0.03 0.02 0.02
0.09 0.08 0.06 0.05 0.04 0.04 0.03 0.03 0.03
0.14 0.11 0.08 0.06 0.05 0.04 0.03 0.03 0.03
0.27 0.17 0.11 0.08 0.06 0.04 0.04 0.03 0.03
0.54 0.28 0.15 0.10 0.07 0.05 0.04 0.03 0.03
0.1 0.2 0.3 0.4 0.5

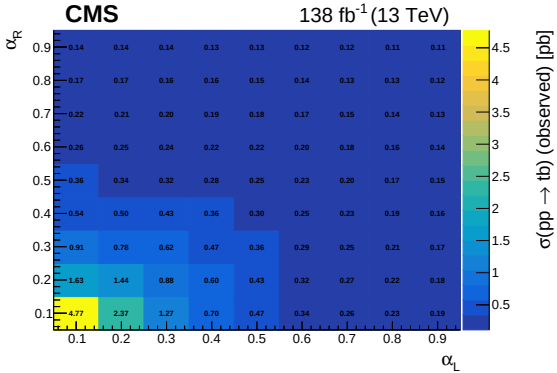
CMS
138 fb^{-1} (13 TeV)
α_R
α_L
$\sigma(pp \to tb)$ (observed) [pb]
0.1 0.2 0.3 0.4 0.5 0.6 0.7 0.8 0.9
0.14 0.14 0.14 0.13 0.13 0.12 0.12 0.11 0.11
0.17 0.17 0.16 0.16 0.15 0.14 0.13 0.13 0.12
0.22 0.21 0.20 0.19 0.18 0.17 0.15 0.14 0.13
0.26 0.25 0.24 0.22 0.22 0.20 0.18 0.16 0.14
0.36 0.34 0.32 0.28 0.25 0.23 0.20 0.17 0.15
0.54 0.50 0.43 0.36 0.30 0.25 0.23 0.19 0.16
0.91 0.78 0.62 0.47 0.36 0.29 0.25 0.21 0.17
1.63 1.44 0.88 0.60 0.43 0.32 0.27 0.22 0.18
4.77 2.37 1.27 0.70 0.47 0.34 0.26 0.23 0.19
0.5 1 1.5 2 2.5 3 3.5 4 4.5

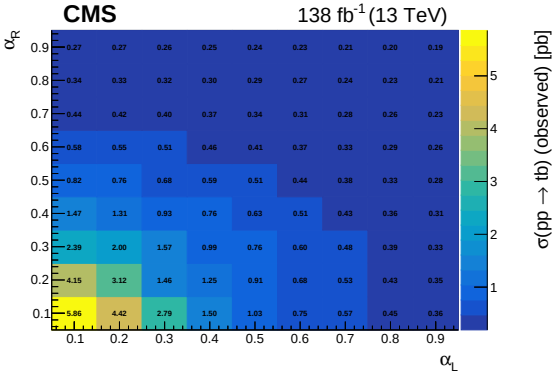
CMS
138 fb^{-1} (13 TeV)
α_R
α_L
$\sigma(pp \to tb)$ (observed) [pb]
0.1 0.2 0.3 0.4 0.5 0.6 0.7 0.8 0.9
0.27 0.27 0.26 0.25 0.24 0.23 0.21 0.20 0.19
0.34 0.33 0.32 0.30 0.29 0.27 0.24 0.23 0.21
0.44 0.42 0.40 0.37 0.34 0.31 0.28 0.26 0.23
0.58 0.55 0.51 0.46 0.41 0.37 0.33 0.29 0.26
0.82 0.76 0.68 0.59 0.51 0.44 0.38 0.33 0.28
1.47 1.31 0.93 0.76 0.63 0.51 0.43 0.36 0.31
2.39 2.00 1.57 0.99 0.76 0.60 0.48 0.39 0.33
4.15 3.12 1.46 1.25 0.91 0.68 0.53 0.43 0.35
5.86 4.42 2.79 1.50 1.03 0.75 0.57 0.45 0.36
1 2 3 4 5

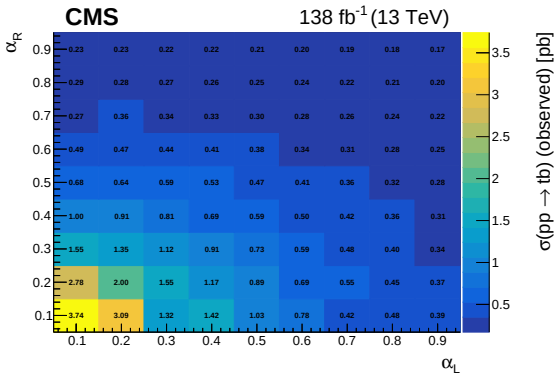
CMS
138 fb^{-1} (13 TeV)
α_R
α_L
$\sigma(pp \to tb)$ (observed) [pb]
0.1 0.2 0.3 0.4 0.5 0.6 0.7 0.8 0.9
0.23 0.23 0.22 0.22 0.21 0.20 0.19 0.18 0.17
0.29 0.28 0.27 0.26 0.25 0.24 0.22 0.21 0.20
0.27 0.36 0.34 0.33 0.30 0.28 0.26 0.24 0.22
0.49 0.47 0.44 0.41 0.38 0.34 0.31 0.28 0.25
0.68 0.64 0.59 0.53 0.47 0.41 0.36 0.32 0.28
1.00 0.91 0.81 0.69 0.59 0.50 0.42 0.36 0.31
1.55 1.35 1.12 0.91 0.73 0.59 0.48 0.40 0.34
2.78 2.00 1.55 1.17 0.89 0.69 0.55 0.45 0.37
3.74 3.09 1.32 1.42 1.03 0.78 0.42 0.48 0.39
0.5 1 1.5 2 2.5 3 3.5

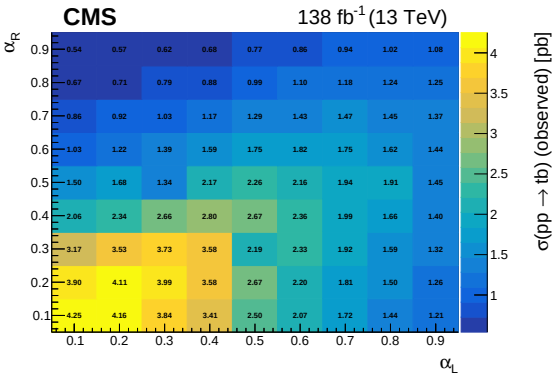
CMS
138 fb^{-1} (13 TeV)
α_R
α_L
$\sigma(pp \to tb)$ (observed) [pb]
0.1 0.2 0.3 0.4 0.5 0.6 0.7 0.8 0.9
0.54 0.57 0.62 0.68 0.77 0.86 0.94 1.02 1.08
0.67 0.71 0.79 0.88 0.99 1.10 1.18 1.24 1.25
0.86 0.92 1.03 1.17 1.29 1.43 1.47 1.45 1.37
1.03 1.22 1.39 1.59 1.75 1.82 1.75 1.62 1.44
1.50 1.68 1.34 2.17 2.26 2.16 1.94 1.91 1.45
2.06 2.34 2.66 2.80 2.67 2.36 1.99 1.66 1.40
3.17 3.53 3.73 3.58 2.19 2.33 1.92 1.59 1.32
3.90 4.11 3.99 3.58 2.67 2.20 1.81 1.50 1.26
4.25 4.16 3.84 3.41 2.50 2.07 1.72 1.44 1.21
1 1.5 2 2.5 3 3.5 4